

Таким образом, жесткость систем «державка резца – суппорт» более чем в четыре раза ниже жесткости конструкций отдельно взятых стандартных и универсально-сборных резцов. Следовательно, на точность обработки, прочность, стойкость и т.д. основное влияние будет оказывать жесткость системы «державка резца - суппорт». На этом основании можно заключить, что конструктивные особенности УСР с поворотной режущей частью не оказывают существенного влияния на точность обработки. При этом включение УСР в системы токарного инструмента обеспечит как снижение металлоемкости системы, так и себестоимости обработки.

## SUMMARY

*The carried out comparative research of a rigidity of constructions of universal and standard cutting bits. As a result of research is defined, that the design features of universal cutting bits essentially do not influence a rigidity.*

## СПИСОК ЛИТЕРАТУРЫ

1. Патент України на винахід №12364А. МКІ В23 В27/16. Універсално-абірний інструмент /Матюха П.Г., Петтік Ю.В., Михайлів О.М.
2. Шустиков А.Д., Мироненко Е.В., Соловьев В.В. Исследование жесткости сборных блочных резцов /Надежность режущего инструмента. Вопросы надежности, оптимального проектирования и эксплуатации инструмента. Теория и практические приложения. Сб. статей.- Вып. 5 /Под общ. Редакцией В.С. Гузенко и Г.Л. Хаста /Краматорск: Донбасская государственная машиностроительная академия, 1994. - 218с.-С. 85 - 94.
3. Пустыльник Е.И. Статистические методы анализа и обработки наблюдений.- М., 1968. - 288 с.

*Поступила в редколлегию 16 декабря 2002г.*

УДК 669.018.25:021.9.02

## ИССЛЕДОВАНИЕ ВЛИЯНИЯ ПОКРЫТИЯ НА ОСНОВЕ Ti НА ИЗНОСОСТОЙКОСТЬ ТВЕРДОГО СПЛАВА ТН20

*В.Ю. Долгих\*, асп.; Д.В. Криворучко\*\*, ст. преподаватель  
(\*Национальный технический университет Украины "КПИ",  
\*\*Сумський національний університет)*

В данный момент в мировой практике машиностроения сложилась ситуация, когда объем снимаемого металла режущим инструментом несколько снизился, однако продолжает оставаться на довольно высоком уровне. Разрабатываются все более совершенные материалы, с более высокими физическими и механическими свойствами. Поэтому для их обработки требуется применять современные режущие материалы.

Около 85% снимаемого материала приходится на твердые сплавы [1]. В современных условиях машиностроительных заводов наиболее эффективным является применение твердых сплавов с различными защитными покрытиями. Такая тенденция наблюдается во всем мире. Производители инструментальных материалов стараются выпускать режущий инструмент, особенно твердые сплавы, с разнообразными покрытиями на режущих поверхностях.

В связи с эффективностью применения покрытий сейчас их существует большое количество типов и видов. Важным моментом применения режущих инструментов с покрытиями является правильный выбор режимов резания, а также обрабатываемого материала.

В данной работе проводились исследования по определению износостойкого износа безвольфрамового твердого сплава марки TH20 с диффузионным покрытием на основе Ti. Цель работы - определить эффективность применения сплава марки TH20 с покрытием, а также показать возможность замены существующего твердого сплава T15K6.

Среди известных покрытий, наносимых на поверхность твердых сплавов, наибольшее практическое применение получили однослойные покрытия на основе карбида титана и многослойные покрытия на основе карбида титана TiC, нитрида титана TiN и оксида алюминия  $Al_2O_3$ . Для твердых сплавов наибольшее распространение получил метод осаждения покрытий из газовой фазы (CVD) в проточной смеси хлоридов титана, алюминия, азота, углеводорода. В качестве газа носителя обычно используют водород [2]. Применению покрытий на безвольфрамовых твердых сплавах препятствует отсутствие технологических приемов их нанесения, а также неполный характер информации о составе, структурах и свойствах покрытий [3,4].

В настоящей работе покрытия на основе титана на поверхность твердых сплавов марок TH20 наносили в интервале температур 1223–1373°C и времени выдержки 0,5–6 часов. Процесс насыщения переходным металлом осуществляли в замкнутом реакционном пространстве при пониженном давлении с использованием в качестве исходных реагентов порошков титана, четыреххлористого углерода и азотсодержащей добавки [5].

После диффузионной металлизации сплава TH20 титаном поверхность состоит из зоны карбидов насыщающего металла, примыкающего к основному сплаву, и зоны интерметаллидов на основе насыщающего металла и никеля. Фазовый состав покрытия приведен в таблице.

Таблица 1 - Фазовый состав и некоторые характеристики покрытия на твердом сплаве TH20

Вид обработки	Твердый сплав	Температура, °C, время, час	Фазовый состав покрытия	Толщина покрытия, мкм	Микротвердость, ГПа
Титанирование	TH20	1000, 2	Ni <sub>3</sub> Ti/NiTi/TiC	6,0/9,0/1,5	11,5/14,0/-
		950, 1	Ni <sub>3</sub> Ti/NiTi/TiC	4,5/8,0/2,5	11,5/13,5/-

Характерные микроструктуры твердого сплава с защитными покрытиями показаны на рис.1. Покрытия на основе карбидов, интерметаллидов на твердых сплавах выявляются на полированных шлифах без предварительного травления в виде светлых зон разного оттенка, толщина которых зависит от температуры и времени насыщения.

Основным преимуществом данного типа покрытий по сравнению с покрытиями, получаемыми методом КИБ, является их высокая адгезия к материалу основы. Поскольку покрытия получают путем диффузии насыщающего металла при достаточно высокой температуре, они имеют достаточную степень сцепления с основой.

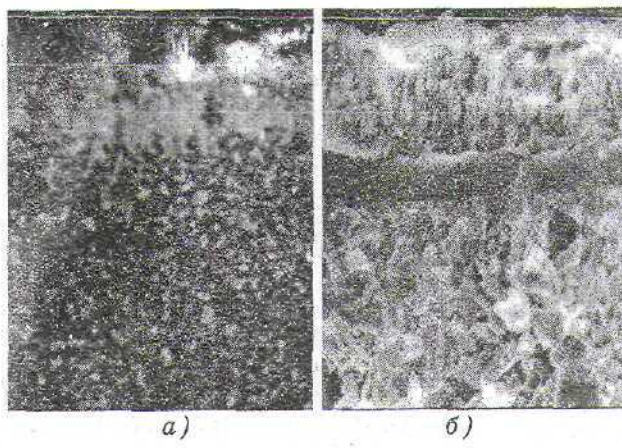


Рисунок 1 - Типы покрытий на безвольфрамовых твердых сплавах TH20 та КХН15:  
а) TiC, Ni<sub>3</sub>Ti на TH20; б) TiC, Ni<sub>3</sub>Ti на TH20 с предварительной цементацией.  
Температура насыщения  $t=1000^{\circ}\text{C}$ ,  $t=2 \text{ часа} \times 3000 \text{ раз}$

В качестве метода испытания было предложено воспользоваться методикой, разработанной в технологическом институте Подолья. Принцип метода «обратного вращения шпинделя» заключается в имитации реальных условий резания путем исключения непосредственно самого процесса резания и замены его трением за счет смены направления вращения шпинделя. Таким образом, предполагается максимально приблизить условия проведения эксперимента к условиям резания.

Эксперимент проводился на установке, основой которой являлся токарно-винторезный станок 1К62. На нем было установлено специальное приспособление, позволяющее реализовать данный метод испытаний. Основную задачу, которую выполняло приспособление, являлось задание тарированной нагрузки на инструмент в осевом направлении. В качестве контртела использовалась заготовка трубчатой формы с известной толщиной стенки, что позволяло определить площадь контакта между режущим инструментом и заготовкой. Материалом контртела была сталь ЩХ15. Схема эксперимента приведена на рисунке 2.

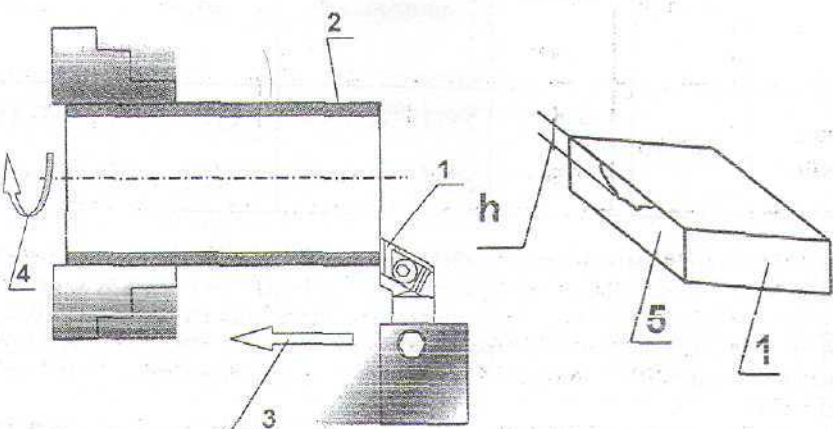
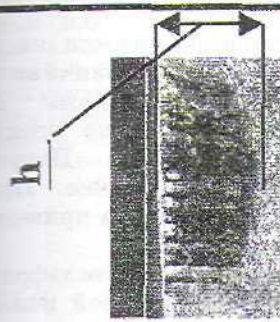


Рисунок 2 – Схема испытания, метод «обратного вращения шпинделя»:  
1 – режущая пластина; 2 – заготовка; 3 – направление приложения усилия;  
4 – направление вращения шпинделя; 5 – задняя поверхность инструмента;  $h$  – величина фаски износа

ТВЕРДЫЙ СПЛАВ Т1БК6.

Режим испытания:  $v=5,0$  м/с,  $\tau=10$  с.



ТВЕРДЫЙ СПЛАВ ТН20+покрытие (Ni<sub>3</sub>Al/TiC).

Режим испытания:  $v=5,0$  м/с,  $\tau=10$  с.

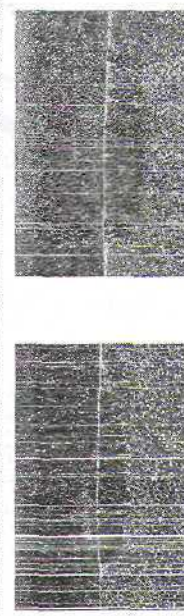


Рисунок 3 – Фаски износа на задней поверхности режущего инструмента

В качестве режущего инструмента использовались МНТП из твердого сплава Т15К6, безвольфрамового твердого сплава ТН20, а также сплав ТН20 с покрытием. Режимы испытания подбирались таким образом чтобы они имитировали процесс резания. В качестве отправной точки выбирались режимы резания, рекомендованные для сплава Т15К6, для получистовой обработки.

Результатом проведенных испытаний были фаски износа на задней поверхности, которые можно видеть на рисунке 3. Величина фаски определялась с помощью цифрового микроскопа фирмы INTEL подключенного непосредственно к компьютеру, а также специального разработанного для этого программного обеспечения. Полученные результаты обрабатывались по указанной выше методике. Пример фасок износа на задней поверхности режущего инструмента приведены на рисунке 3.

Испытания показали, что относительный износ безвольфрамового твердого сплава ТН20 без покрытия соизмерим с величиной износа для сплава Т15К6, что уже само по себе позволяет рекомендовать его качестве материала заменителя данного сплава. А сплав ТН20 покрытием на основе Ti показал, что его относительный износ уменьшился более чем в два раза, что видно на данном графике (смотрите рис. 4).

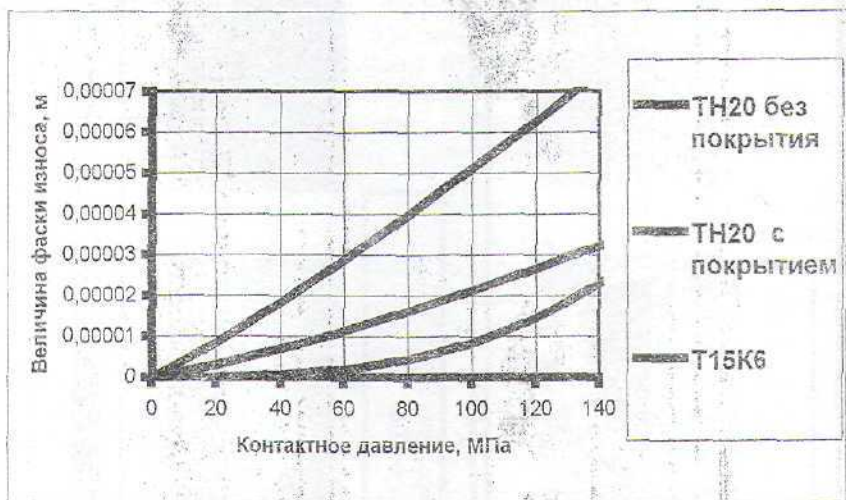


Рисунок 4 – Величина относительного износа

## ВЫВОДЫ

Показано, что относительный износ безвольфрамового твердого сплава ТН20 с покрытием более чем в два раза меньше традиционного твердого сплава Т15К6. Использование методики «обратного вращения» шпинделей позволяет сделать качественный анализ испытуемого материала, сравни его с каким-либо традиционным материалом. Учитывая вышеизложенное можно сделать вывод о необходимости проведения дальнейших испытаний.

## SUMMARY

*The results of comparison of wear intensity of coated tungstenfree (TH20) and not coated tungsten (T15K6) carbide tool materials are represented. It is shown that application of spin reverse rotation method allows to carry out qualitative comparison significantly quicker than any other known method. It was determined that the wear intensity of the former tool material is about twice low than the wear intensity of the latter one.*